

# تحلیل رشد ترک در سدهای بتنی به روش افزایش بار استاتیکی

سید علی مرعشی  
کارشناس ارشد سازه‌های هیدرولیکی

محمد تقی احمدی  
دانشیار

علی اکبر آقاکوچک  
استادیار

دانشگاه تربیت مدرس، دانشکده فنی و مهندسی

## چکیده

در این مقاله تحلیل غیرخطی سدهای بتنی، تحت اثر بارهای استاتیکی، به روش افزایش بار ارائه شده است. به منظور بالا بردن قابلیت و توانایی این روش از روند تکرار نیوتون - رافسون اصلاح شده در هر قدم بارگذاری استفاده شده است. رفتار غیر خطی بتن در بدنه سد بدون تعامل تنש‌های کششی و تغییر مکان‌ها کوچک فرض شده است. از اثرات غیرخطی هندسی در این تحلیل صرفنظر شده است. تنها ترک کششی (مود اول ترک) با گشودگی درز مورد توجه قرار گرفته است. به لحاظ روش‌ها و ملاحظات اجرایی سد بتُنی یک سیستم سازه ترد و ذاتاً درزدار است. به منظور مدل کردن ترک منفصل در مناطق از پیش تعریف شده از المان میان رویه استفاده شده است. این المان مجازی مسئله تماس بلوک‌ها را تعریف نموده و امکان جدایی بین دو بلوک مجاور را فراهم می‌کند. در چنین مدلی اعمال بار مرده وزن سد در حین احداث آبگیری اولیه، نوسانات تراز آب پشت مخزن و تخلیه سد امکان پذیر است. برنامه امانت محدود (SAM95) برای این منظور تهیه شده است. در این پژوهه وضعیت ترک خورده‌گی سد کارون (شهید عباسپور) در نواحی زیر مدفون بوده است: (الف) محل تماس بدنه و شالوده تحت بار وزن و افزایش یا کاهش تدریجی فشار هیدرولاستاتیک. (ب) بین درزهای ساختمانی تحت اثر بارگذاری وزن سد در حین ساختمان.

نتایج به دست آمده از این تحلیل عبارتند از:

- بارهای متداول در سدهای بتنی معمولاً به صورت سیگلی می‌باشند. استفاده از روش تکرار مستقیم برای اینگونه بارگذاری‌ها می‌تواند در جهت عدم اطمینان باشد. به ویژه زمانی که رفتار غیر خطی سازه فراگیر شود، می‌باشد از روش افزایش بار بهره جست.
- افزایش صلابت شالوده در سدهای بتنی، رفتار مصالح را به حالت ترد و شکننده نزدیکتر می‌کند. به طوری که مناطق ترک خورده، پهنای بازشدگی و همچنین خسارت‌های پس ماند و تغییر مکان‌های برگشت ناپذیر ناشی از بارداری و کاهش تدریجی تراز آب در حالت پی صلب بیش از حالت بی اعتعاف پذیر است.
- روش افزایش بار استاتیکی کنترل و انصحی بر روی پایداری و اینمی سازه در تمام مراحل ساخت، آبگیری اولیه، پهنه برداشی و تخلیه مخزن سلا در شرایط بارهای متعارف می‌باشد.

## A Study of Joint-Opening in Concrete Dams Using Incremental Static Loading

Mohammad T. Ahamadi,  
Associate Professor

Seyed Ali Marashi  
Former Graduate Student

Ali Albar Aghakouchak  
Assistant Professor

Tech. & Engineering Faculty, Tarbiat Modarres University

## Abstract

In this paper the incremental solution procedure for nonlinear analysis of concrete dams is developed. In order to upward ability, the incremental load method is combined with the modified Newton-Raphson iteration in one step-by-step solution scheme. Since concrete dam is constructed in separate monolithic blocks, it behaves as a jointed structural system, so discrete crack propagation in the predefined location and also block contact problem can be used for Structural Analysis Modelling (SAM). The dam wall and foundation is modelled with 20 node isoparametric curvilinear elements or 15 node in wedges. The joint/interface quadratic elements are 16 node (8 node at top, 8 node at bottom) with zero thickness and the stresses are sampled at  $3 \times 3$  Gauss points. In such a model the weight of dam during construction and the variable reservoir water level are applicable. Foundation joint and vertical contraction joint openings are considered. It's found that the conventional loading in concrete dams, may be a case of non-monotonic loading. For this kind of loading, the use of direct iteration method may result in inadequate margin of safety in design, so this method is not recommended. Instead, specially when nonlinear behavior of structure is considerable, the incremental load method lead to better results in comparison with the others. Furthermore, during the period of the lowering reservoir, the maximum arch residual tensile stresses may be considerably greater than in the operating case. A finite element algorithm (SAM95) for dam monitoring during construction and service load condition is prepared. A general flow diagram for initial stiffness method is given.

## ۱- مقدمه

تغییر وضعیت مصالح به لحاظ واکنش‌های شیمیایی سنگدانه‌های آلکالی (Alkali aggregate reaction) نام برد. در یک مدل کامل باید به وضعیت و جهت سیستم درزه در پی (Bedding system) نیز توجه نمود. [۳] محتمل ترین نقاط ترک خوردنی در سدهای بتی، عبارت است از [۴]:

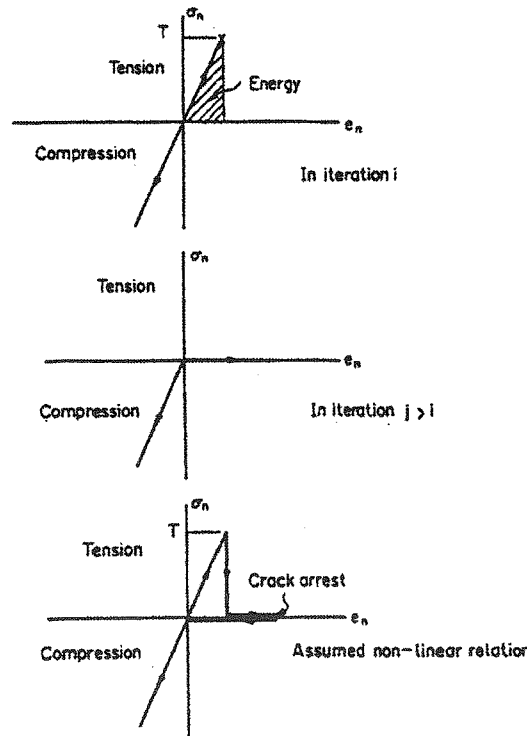
(الف) محل تماس بدنه سد و شالووه: این پدیده به دلیل اثر خروج از مرکزیت نیروهای ناشی از فشار هیدرواستاتیک و وزن مرده سد در دراز مدت است. این مسئله به ویژه در دره‌های با دهانه وسیع حائز اهمیت می‌باشد. در این حالت افزایش صلبیت پی موجب تشدید پدیده ترک خوردنی در این محل‌ها می‌گردد.

(ب) محل درزهای ساختمانی قائم: در سدهای بتی دو قوسی تحت اثر وزن مرده سد در حین احداث، پیش از آبگیری اولیه و نیز به هنگام تخلیه مخزن یا زمین لرزه، این محل‌ها پتانسیل ترک خوردنی بالایی دارند.

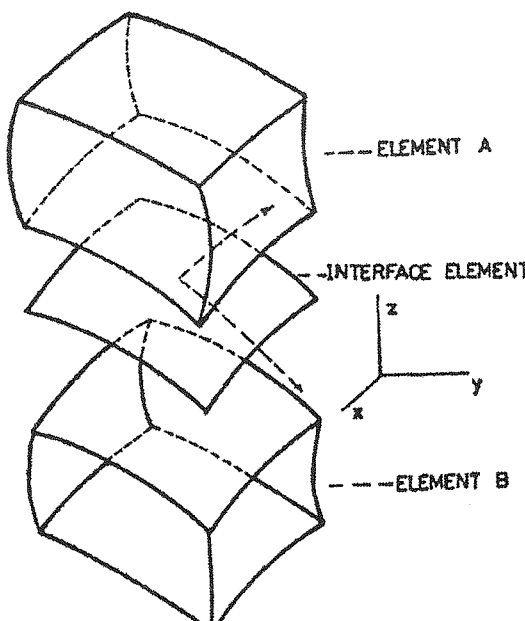
(ج) محل درزهای ساختمانی افقی: این مورد به دلیل پیوستگی ضعیف بتن ناشی از قطع بتن ریزی در هنگام اجرای سد می‌باشد. اینگونه ترک‌ها به ترک‌های کنسول نیز موسومند.

اصلًاً احداث سدهای بتی و متعاقب آن مسائل پایداری و اینمنی اینگونه سدها از موضوع‌های مهمی است که از جنبه‌های مختلف فنی، اقتصادی، سیاسی، اجتماعی و زیست محیطی قابل مطالعه و بررسی است. از نظر فنی به دلیل مقاومت ضعیف بتن در برابر کشش و نیز شکننده بودن بتن غیر مسلح، سدهای بتی از همان ابتدا با مسأله ترک خوردنی مواجه هستند. باید توجه داشت که ترک‌های ریز سطحی که عمدتاً ناشی از هیدراسیون بتن تازه، خوش، آبرفتگی بتن هستند، نمی‌توانند تأثیر جدی روی پایداری و اینمنی سدهای بتی داشته باشند. ولی ترک‌هایی که در عمق بدنه سد نفوذ می‌کنند، اثرات قابل ملاحظه‌ای بر روی کاهش سختی و توان باربری سد دارند. مهمترین عامل به وجود آمدن و رشد اینگونه ترک‌ها، وجود تنش‌های کششی مستد (sustained tensile stresses) است که می‌تواند ناشی از شکل بهینه نشده سد، روش‌های ساخت، زیاد شدن طول پیشامدگی (Overhang)، فشارهای هیدرواستاتیک، نشستهای ناهمسان در پی و نیز زمین لرزه باشد. از دیگر موارد بروز تنش‌های کششی می‌توان از اختلاف درجه حرارت در وجوده بالا دست و پایین دست سد و

ن) تنها به مود اول ترک خوردنی (ترک کششی) به صورت جدایی بلوكهای مجاور توجه شده است. از اثر شکست برشی (مود دوم و سوم ترک) صرفنظر شده است.



شکل (۱) رفتار در نظر گرفته شده برای مصالح



شکل (۲) المان درز (میان رویه)

تاکنون پژوهش‌های زیادی درخصوص تحلیل غیرخطی سدهای بتی و مدلسازی ترک انجام گرفته است. در این مقاله نتایج به دست آمده از تحلیل سد کارون با استفاده از برنامه SAM95 (Structural Analysis Modelling) به طور اجمالی مقایسه شده است. این برنامه المان محدود به زبان فرترن ۷۷ نوشته شده است و دارای ۲۰ زیر برنامه است [۲].

## ۲- خصوصیات و فرضیات مدل تحلیلی

از آنجایی که سدهای بتی به صورت بلوكهای مجزا و غیر مسطح ساخته می‌شوند، لذا سد بتی یک سیستم سازه ترد (Brittle) و ذاتاً درزه دار است. بنابر این استفاده از مدل ترک منفصل (Discrete crack) به صورت سه بعدی در مناطق از پیش تعريف شده (Predefined crack) به منظور مدلسازی ترک در سدهای بتی بسیار مناسب است [۷]. با استفاده از المان میان رویه (Joint/Interface element) می‌توان رفتار محلی سازه را از نظر تغییرات تنش یا کرنش و مقدار پهنای بازشدنی زیرنظر داشت. در این مدل نیازی به تغییر هندسه و تعريف مجدد شبکه المان محدود نیست و ابعاد ماتریسی سازه در طول تحلیل تغییر نمی‌کند. با استفاده از این مدل می‌توان فشار برکنش (Uplift) و نفوذ آب را به سطوح باز ترک اعمال نمود [۹] فرضیات مدل به قرار زیر است:

- الف) تغییر مکان‌ها کوچک هستند.
- ب) تحلیل غیر خطی صرفاً بر مبنای رفتار غیرخطی مصالح استوار است. از اثرات غیرخطی هندسی در این تحلیل صرفنظر شده است.
- ج) رفتار مصالح بدون تحمل تنش‌های کششی [۱۰] فرض شده است. به این ترتیب که رفتار بتن در فشار و برش خطی و در کشش تا حد معینی خطی و پس از آن مقاومت کششی صفر فرض می‌شود (شکل ۱).
- د) تنش کششی نرمال در سطح ترک معیار بازشدنی درز می‌باشد، این تنش با تنش مجاز کششی مصالح درزه مقایسه شده و در صورت تجاوز آن، ترک بازشده و نقطه گوس مربوطه از روند محاسبات سختی حذف می‌گردد. تنش کششی نرمال به تنها برای گشودگی مجدد درزه کافی است [۳].
- ه) کرنش یا دوباره بسته شدن درز است [۸].
- و) اصلاح مصالح پس از بازشدن درز با صرفنظر نمودن از سختی نقاط گشوده شده قابل حصول است.

اگر  $B$  و  $D$  به ترتیب ماتریس‌های انتقال کرنش و ماتریس الاستیسیته باشند، آنگاه تنش در هر نقطه در تکرار نام محاسبه می‌شود:

$$\sigma^i = DBa^i \quad (6)$$

$P_{2D}^e$  بردار نیروهای داخلی المان‌های سه بعدی و دو بعدی که در مورد المان‌های دو بعدی از روش تنش<sup>۱</sup> و با انتگرال‌گیری از سطح ( $\Omega$ ) حاصل می‌شود.

$$P_{3D}^e = K_{3D}^e a^e \quad (7)$$

$$P_{2D}^e = \int_{\Omega} B^T \sigma^i d\Omega \quad (8)$$

سپس  $P^e$  بردار نیروهای داخلی کل به دست می‌آید:

$$P^i = \sum_{e=1}^{n_e} (P_{3D}^e + P_{2D}^e) \quad (9)$$

به این ترتیب بردار نیروهای خارج از تعادل در تکرار نام محاسبه می‌شود:

$$\Delta P^i = F_n - P^i \quad (10)$$

سپس ضابطه همگرایی انرژی کنترل می‌شود که در آن  $\epsilon$  عددی است کوچک و ضریب همگرایی نامیده می‌شود:

$$(\Delta a^i)^T \Delta P^{i-1} \leq \epsilon (\Delta a^{i-1})^T \Delta P^0 \quad (11)$$

در صورتی که معیار (۱۱) ارضاء نشود، عملیات تکراری آنقدر ادامه می‌یابد تا اینکه بردار نیروهای خارج از تعادل به اندازه کافی کوچک شود. در صورت ارضای ضابطه (۱۱) و تحقق همگرایی قدمهای بعدی بارگذاری تا رسیدن به بارنهایی ادامه می‌یابد. در شکل ۴ نمای کلی روش سختی اولیه نشان داده شده است [۲].

### ۳- روش تحلیل منتخب

روش افزایش بار استاتیکی توأم با روش تکرار نیوتن - رافسون اصلاح شده در نوع خود کاملترین و جامعترین روش تحلیل غیر خطی با توجه به نحوه اجرا و خصوصیات بارگذاری تدریجی در سدهای بتني می‌باشد.

در مدل المان محدود از المان‌های خمیده ایزوپارامتریک ۲۰ گرهی در بدنه و شالوده استفاده شده است. این المان در مجاورت لبه‌ها و کناره‌ها به صورت ۱۵ گرهی معرفی گردیده است. جهت مدل کردن ترک در مناطق از پیش تعریف شده از المان‌های خمیده ایزوپارامتریک ۱۶ گرهی (۸ گره در بالا و ۸ گره در پایین) به ضخامت صفر با نقاط گوس  $3 \times 3$  استفاده شده است [۵]. این المان‌های مجازی مسأله تماس بلوك‌ها را تعریف نموده و امکان جدایی یا بازشدن (مود اول ترک) بین دو بلوك مجاور را فراهم می‌کنند (شکل ۲). در ادامه با توجه به شکل ۳ جزئیات روش سختی اولیه توضیح داده شده است. در صورتی که  $\Delta P^e$  بردار نیروهای خارج از تعادل و  $F$  بارنهایی، و  $n$  تعداد افزایش‌ها باشد، در ابتدای مسأله داریم:

$$\Delta P^e = \frac{1}{n} F \quad (1)$$

اگر  $F$  بردار نیروهای خارجی و  $K$  ماتریس سختی کل سیستم در قدم  $n$  ام بارگذاری باشد، داریم:

$$F_n = F_{n-1} + \Delta P^e \quad (2)$$

سپس  $K_{2D}$  و  $K_{3D}$  ماتریس‌های سختی المان‌های سه بعدی و دو بعدی که به ترتیب ثابت و متغیر فرض می‌شوند.

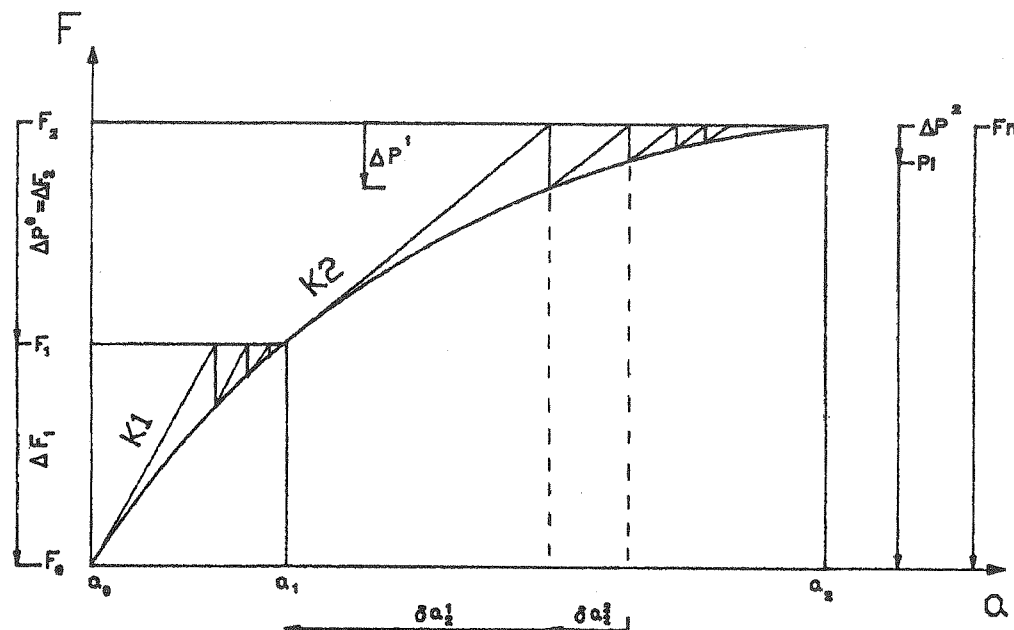
$$K_n = K_{3D} + K_{2D} \quad (3)$$

سپس عملیات اصلاح شده تکرار نیوتن - رافسون را خواهیم داشت:

$\Delta a^i$  بردار تغییر مکان‌های مجھول در هر تکرار و  $a^i$  بردار تغییر شکل کل تا این مرحله می‌باشد.

$$\Delta a^i = K_n^{-1} \Delta P^{i-1} \quad (4)$$

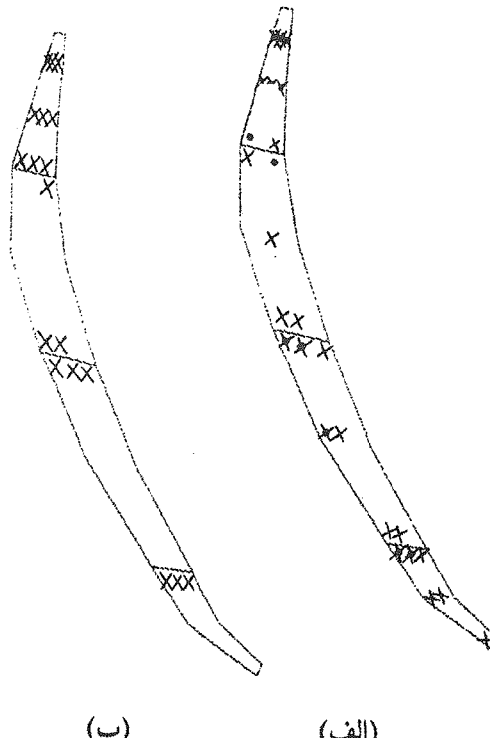
$$a^i = a^{i-1} + \Delta a^i \quad (5)$$



شکل (۳) روش سختی اولیه و اصلاح ماتریس سختی در ابتدای هر قدم بارگذاری

#### ۴- تحلیل سد کارون

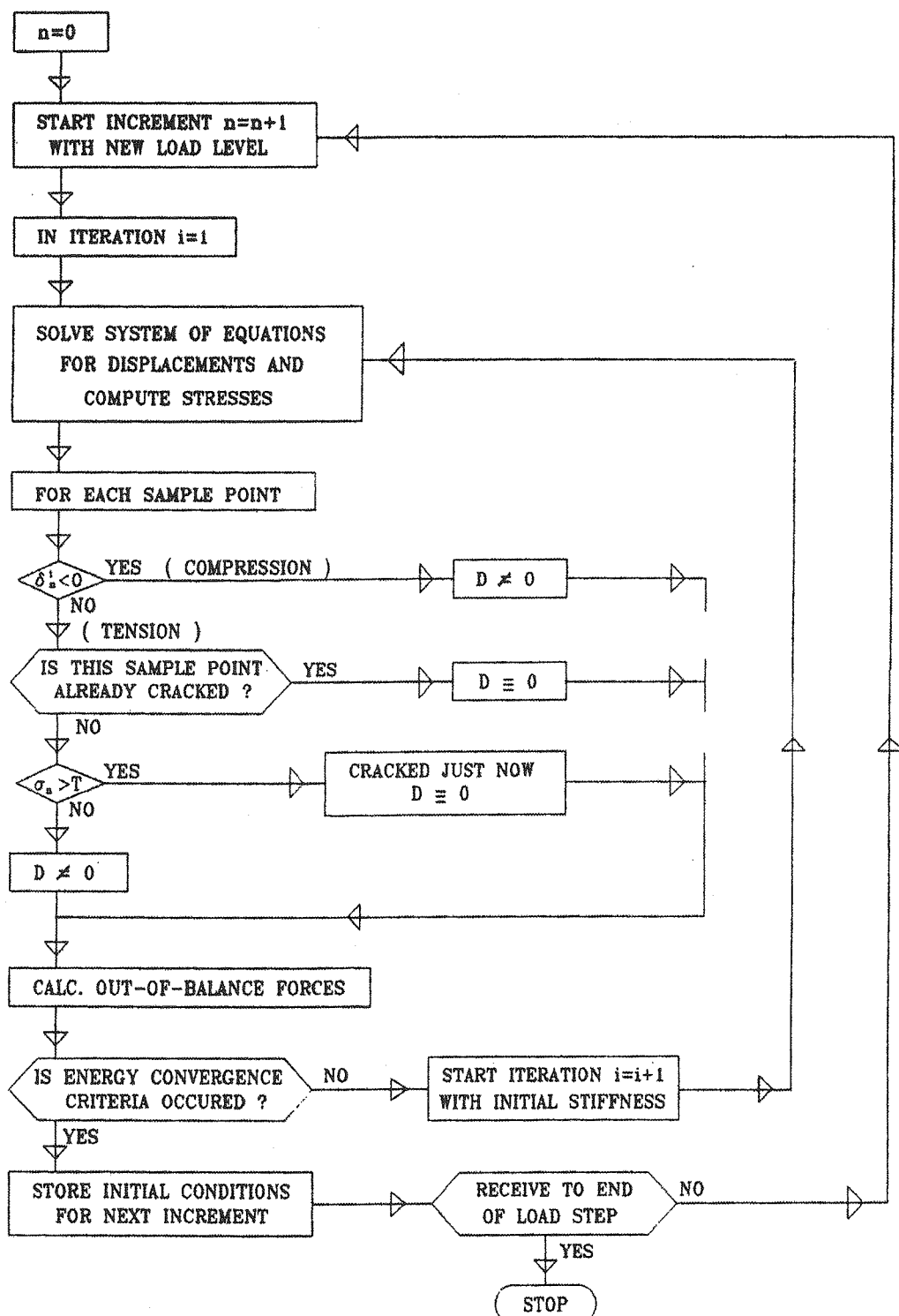
در این قسمت به عنوان یک مثال عملی و واقعی سد کارون ۱ (شهید عباسپور) به ارتفاع ۲۰۰ متر در حالت های خطی و غیرخطی با پی صلب و پی انعطاف پذیر (۲) تحت اثر بار وزن مرده سد به همراه فشار هیدرواستاتیک تدریجی افزایشی و کاهشی به منظور بررسی اثرات گشودگی درزها در محل تماس بدنه و شالوده مورد تحلیل قرار گرفته است. تراز نهایی آب ۱۸۸ متر می باشد که در افزایش های مساوی به بدنه سد اعمال شده است. در شکل های ۵ و ۶ نقاط گوس باز شده در افزایش اول و دوم و نقاط بازنده پس از باربرداری و تخلیه تدریجی مخزن به ترتیب برای حالت های پی صلب و پی انعطاف پذیر نشان داده شده است. در این تحلیل نقاطی را می توان یافت که در تراز میانی مخزن (۹۴ متر) باز و در تراز نهایی آب (۱۸۸ متر) بسته شده اند. این امر نشان دهنده بارگذاری غیر یکنواخت در هنگام آبگیری اولیه سد کارون است. همانطوری که مشاهده می شود، شدت ترک خوردنی همچنین خسارت های پس ماند در حالت پی صلب بیش از حالت پی انعطاف پذیر است.



شکل (۵ - а) نقاط گوس باز شده در افزایش اول و دوم

شکل (۵ - ب) نقاط گوس بازنده پس از باربرداری تدریجی در حالت پی صلب

## INITIAL STIFFNESS FLOW DIAGRAM



شکل (۳) نمای کلی روش سختی اولیه

سد در حالت پی انعطاف پذیر (چهار افزایش) با سایر مدل‌ها مقایسه شده است. نتایج به دست آمده پس از رسیدن آب به تراز نهایی عبارتند از:

تنش‌های فشاری کنسول در پایین دست بدنه سد افزایش و در بالا دست کاهش یافته است.

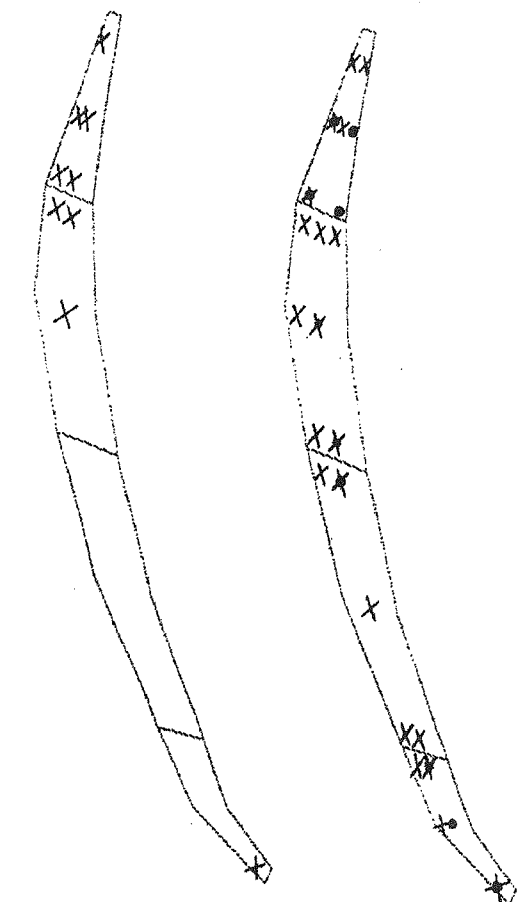
- تنش‌های قوس به دلیل اثر بازشدنگی درزها نسبت به حالت خطی افزایش نشان می‌دهد.

- با افزایش صلبیت فونداسیون، رفتار مصالح به حالت شکننده و ترد نزدیکتر شده، در نتیجه مناطق ترک خورده، پهنانی بازشدنگی و همچنین عدم اطمینان نسبت به گسترش ترک در حالت پی صلب بیش از حالت پی انعطاف پذیر است. تغییر مکان باقیمانده (برگشت ناپذیر) به سمت بالا دست پس از کاهش تدریجی تراز آب، می‌تواند ناشی از شدت ترک خورده‌گی در حالت پی صلب باشد.

- در تحلیل غیرخطی، تنش‌های کششی به صورت موضعی آزاد شده و عمل باز توزیع تنش‌ها در بخش‌های فشاری انجام می‌گردد. این عملکرد موجب می‌شود که تنش‌های کششی حداقل مطلق در بدنه سد به طور قابل ملاحظه‌ای کاهش یافته و تنش‌های فشاری افزایش یابد.

پس از تخلیه تدریجی مخزن در چهار پله کاهشی ملاحظه شده است که تنش‌های کششی مطلق در حالت پی انعطاف پذیر و چه پایین دست حدوداً ۵ برابر افزایش داشته است.

در قسمت بعد به منظور بررسی اثر درزهای قائم ساختمانی سد کارون، سه حالت یکپارچگی درز / کامل / آزاد / Jointed / Perfect / Free monoliths (Jointed / Perfect / Free monoliths) تحت اثر بارگذاری افزایشی وزن سد، مورد مطالعه قرار گرفت از میان سه روش ذکر شده، روش یکپارچگی آزاد مقادیر تنش و جابجایی بیشتری نسبت به سایر روش‌ها به دست می‌دهد و از همه دست بالاتر است. نتایج روش یکپارچگی درز و یکپارچگی کامل به یکدیگر نزدیک می‌باشند. در شکل ۸ تغییر مکان‌های شعاعی و کنسول مرکزی برای حالت‌های مختلف یکپارچگی تحت اثر وزن مرده سد پس از احداث ترسیم شده است. در شکل ۹ درزهای گشوده شده و مناطق ترک خورده در کنسول‌ها نمایش داده شده است.



(الف) (ب)

● نقاط گوس بازشده در افزایش اول  
× نقاط گوس بازشده در افزایش دوم

شکل (۶ - الف) نقاط گوس بازشده در افزایش اول و دوم

شکل (۶ - ب) نقاط گوس بازمانده پس از باربرداری تدریجی  
در حالت پی انعطاف پذیر

بنابراین در این حالت مسیر بارگذاری در حل مسئله تأثیرگذار است. به عبارت دیگر تحلیل وابسته به مسیر بارگذاری (Path dependent) خواهد بود. یعنی در یک سطح بارگذاری مشخص بسته به مسیر بارگذاری تغییر مکان‌های مختلفی به دست می‌آید. در شکل ۷ تغییر مکان‌های شعاعی و کنسول مرکزی سد کارون با ۱، ۲ و ۴ قدم افزایش تراز آب در حالت‌های پی صلب و پی انعطاف پذیر نشان داده شده است. در جدول ۱ تنش‌های کششی و فشاری مطلق در بالا دست و پایین دست بدنه

جدول (۱) تنش های کششی و فشاری مطلق در بالا دست و پایین دست سد کارون در حالت پی انعطاف پذیر

Face Condition	Absolute Stresses	Linear	Incremental Load	Direct Iteration	Model Test	ADAP	After lowering
Max U/S Stresses	$\sigma_t$	256	147	55	130	270	166
(T/m <sup>2</sup> )	$\sigma_p$	-334	-589	-517	-430	-370	-364
Max D/S Stresses	$\sigma_t$	351	49	39	30	120	240
(T/m <sup>2</sup> )	$\sigma_p$	-765	-1288	-1029	-900	1270	-741

مصالحه به حالت ترد و شکننده نزدیکتر شود. به این ترتیب مناطق ترک خورده، پهناهی بازشدنگی و نیز عدم اطمینان نسبت به گسترش ترک در حالت پی صلب بیش از حالت پی انعطاف پذیر است.

۳- بارگذاری وزن سد در حین احداث، آبگیری اولیه، نوسانات تراز آب پشت مخزن و تخلیه مخزن سد، منجر به اعمال بارگذاری رفت و برگشتی به سد می گردد. استفاده از روش تکرار مستقیم برای اینگونه بارگذاری ها می تواند در جهت عدم اطمینان باشد. بنابر این استفاده از روش تکرار مستقیم در تحلیل غیر خطی سدهای بتني توصیه نمی شود.

۴- در مورد بارگذاری وزن مرده سد کارون پس از احداث، هر دو روش افزایش بار استاتیکی و تکرار مستقیم نتایج مشابهی به بتني توصیه نمی شود.

۵- پس از باربرداری و کاهش تدریجی تراز آب، تعداد نقاط گوس بازمانده و مناطق ترک خورده در حالت پی صلب بیش از حالت پی انعطاف پذیر است. به عبارت دیگر با افزایش صلبیت شالوده در سدهای بتني خسارت های پس ماند و تغییر مکان های برگشت ناپذیر بیشتر خواهد شد.

۶- به هنگام تخلیه مخزن سد یا زمانی که تراز آب پشت

همانگونه که در شکل ۹ دیده می شود، به دلیل تأثیر وزن مرده قسمت های فوقانی کنسول و خمیدگی این قسمت ها به سمت پایاب، قوس تمایل به بسته شدن دارد. در قسمت های پایینی کنسول تحت اثر وزن مرده بخش های فوقانی قوس تمایل به باز شدن دارد. در نتیجه درزهای قائم در قسمت های تحتانی و نزدیک به تکیه گاه در معرض تنش های کششی هستند.

## ۵-نتیجه گیری

در این مقاله تحلیل بازشدنگی درزها در حالت سه بعدی برای سدهای بتني تحت اثر بارهای استاتیکی تدریجاً افزایشی یا کاهشی ارائه شد. نتایج اصلی این کار به قرار ذیل است:

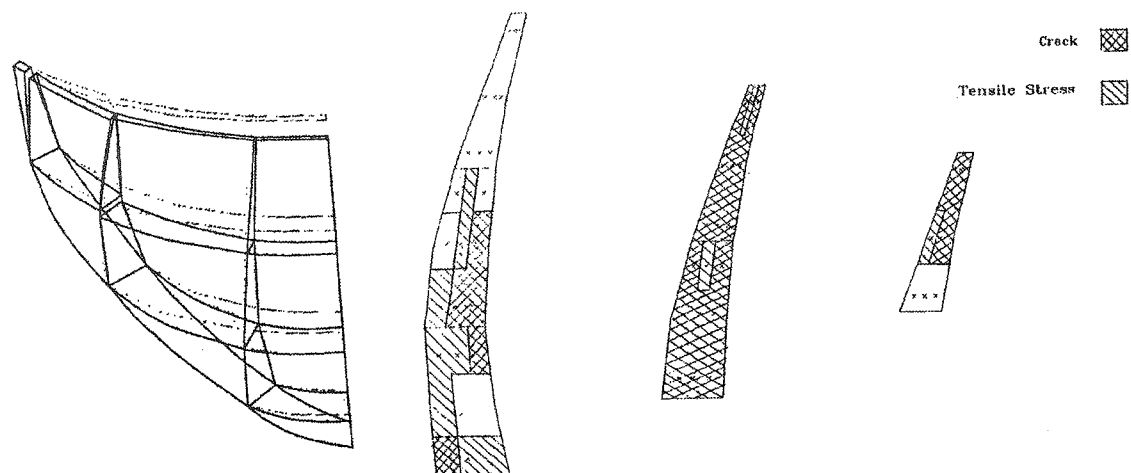
- ۱- روش افزایش بار استاتیکی تتوأم با روش تکرار نیوتون
- ۲- رافسون اصلاح شده در هر قدم بارگذاری در مورد هر نوع سیستم سازه ترد و ذاتاً درزه دار با رفتار غیرخطی قابل ملاحظه، نظیر سدهای بتني، از صحت و اعتبار لازم برخوردار است. البته باید توجه داشت که ماهیت بارگذاری می باشد به صورت آهسته و تدریجی باشد. این امر در مورد بار وزن در حین احداث و نیز تغییرات تراز آب پشت مخزن کاملاً صادق است.
- ۳- افزایش صلبیت فونداسیون موجب می شود که رفتار

۷- در نهایت روش افزایش بار استاتیکی کنترل واضحی بر روی پایداری و اینمنی سازه در تمامی مراحل ساخت، آبگیری اولیه و بهره برداری از سد در شرایط بارهای متعارف می باشد.

مخزن سد به علی پایین برود، تنش های کششی باقیمانده در جهت قوس به طور قابل ملاحظه ای افزایش می یابد. به طوری که این تنش ها در بدنه سد کارون با پی انعطاف پذیر حدود ۵ برابر افزایش نشان داده است.

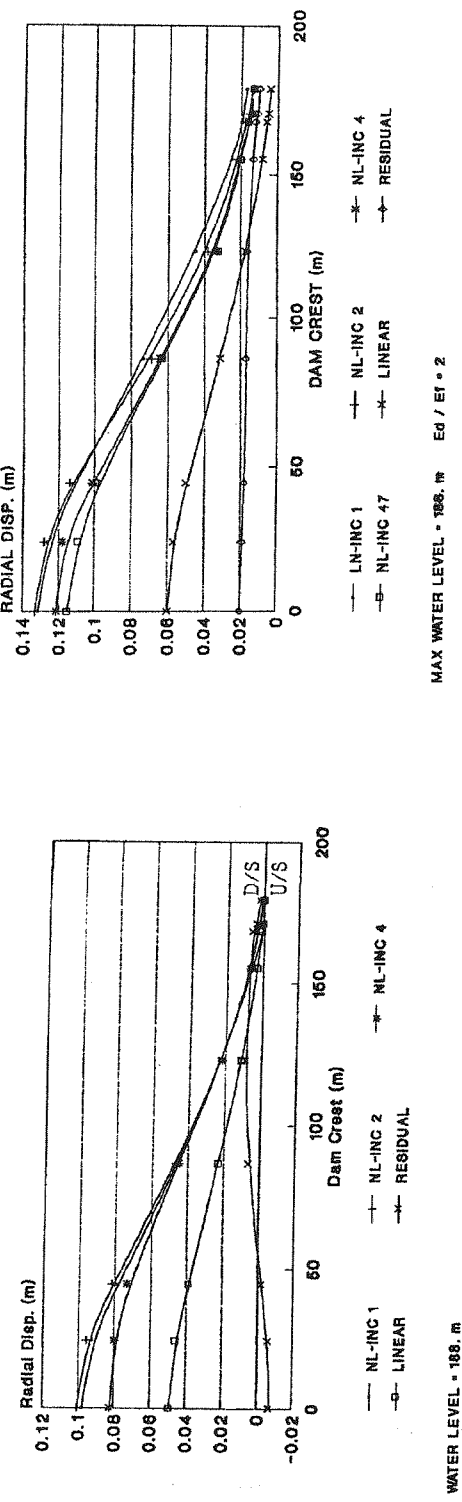
## مراجع

- [۱] رضوی دربار، سهیل، پایان نامه «بررسی اثرات ترک در پایداری سدهای بتُنی قوسی» دانشگاه صنعتی امیرکبیر (پلی تکنیک تهران)، ۱۳۶۹.
- [۲] مرعشی، سید علی، پایان نامه «تحلیل رشد ترک در سدهای بتُنی به روش افزایش بار استاتیکی» دانشگاه تربیت مدرس، ۱۳۷۴.
- [۳] Ahmadi M. T., "New method of analysis for arch dam", chapter 6, "Arch dam static joint opening", Ph. D. dissertation, School of Engineering Tohoku University, 1988.
- [۴] Ahmadi M. T., Razavi S., "A three dimensional joint opening analysis of an arch dam", Computers & Structures, Vol, 44, No. 1/2, 1992.
- [۵] Beer G., "An isoparametric jointinterface element for finite element analysis", International journal for numerical method in engineering, Vol, 21, 1985.
- [۶] Buragohain D. N., shah V. L., "Curved surface isoparametric interface element", Journal of Soil Mechanic and Foundation, Div. ASCE, 1978.
- [۷] O'Connor J.P.F., 'Static analysis of double curvature thin arch dam to arch gravity incorporating the effect of vertical joints", the MWA International Conference of Dam Engineering, Malaysia 1995.
- [۸] Shaw-han Kuo, "On the nonlinear dynamic response of arch dams to earthquake", Part II, "Joint opening nonlinear mechanism-Interface crack model" Ph.D. thesis, University of California, Berkeley, 1982.
- [۹] Simic M., Taylor C. A., "Numerical modelling of limited tension nonlinearities in concrete gravity dam foundation system subjected to static loading, "Dam Engineering, Vol. 6, Issue 2, 1995.
- [۱۰] Zienkiewicz O.C., Valliappan S., King I.P., "Stress analysis of rock as a no-tension material", Geotechnique, Vol. 18, No. 1, 1968.

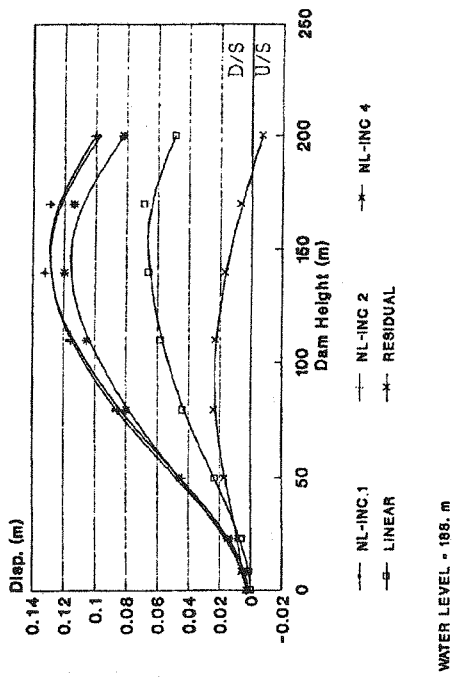


شکل (۹) نمای درزهای گشوده شده و مناطق کششی و ترک خورده در حد فاصل کنسول ها تحت بار وزن

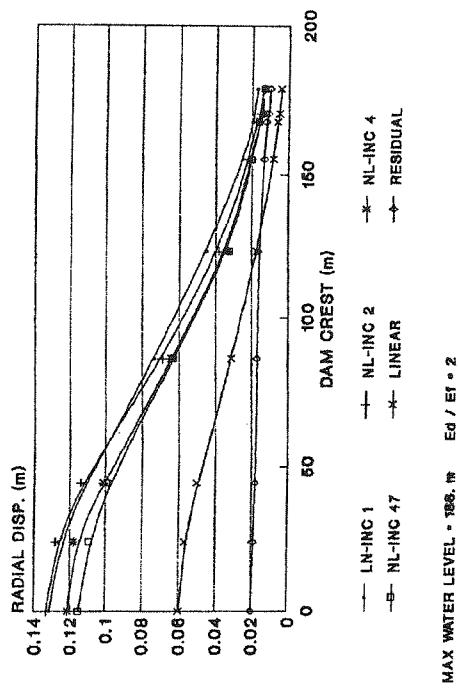
### KARUN DAM WITH RIGID FOUNDATION CREST RADIAL DISPLACEMENTS



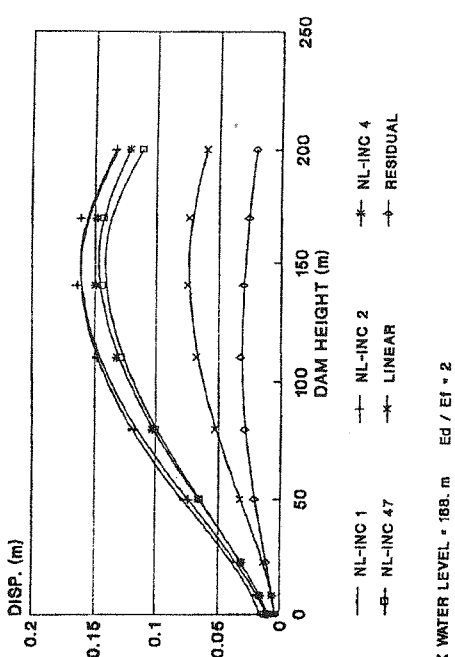
### KARUN DAM WITH RIGID FOUNDATION CENTRAL CONSOLE DISPLACEMENTS



### KARUN DAM WITH FLEXIBLE FOUNDATION CREST RADIAL DISPLACEMENTS

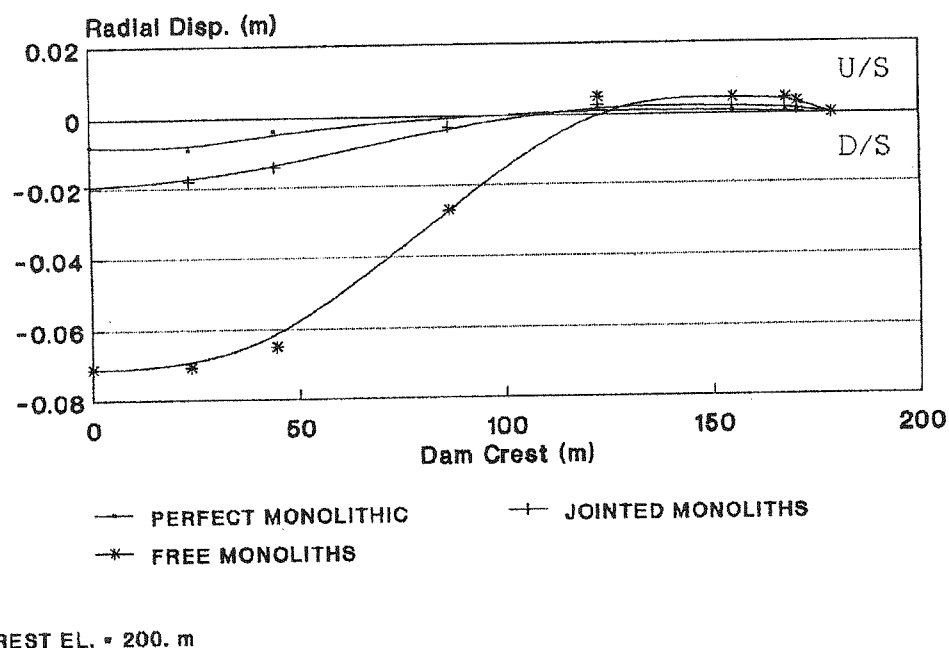


### KARUN DAM WITH FLEXIBLE FOUNDATION CENTRAL CANTILEVER DISPLACEMENTS

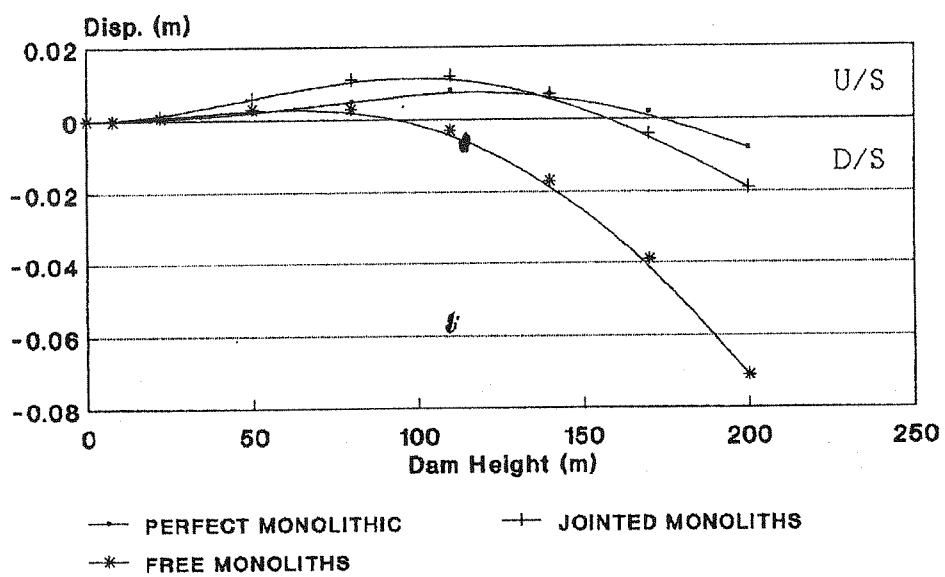


شکل (۷) تغییر مکان های شعاعی تاج سد و کنسول مرکزی سد کارون در حالت های پی صلب و پی انعطاف پذیر تحت بار وزن و افزایش (کاهش) تدریجی فشار هیدرولاستاتیک

## KARUN DAM AFTER CONSTRUCTION CREST RADIAL DISPLACEMENTS



## KARUN DAM AFTER CONSTRUCTION CENTRAL CONSOLE DISPLACEMENTS



شکل (A) تغییر مکان های شعاعی و کنسول مرکزی سد کارون در حالت های مختلف یکبارچگی پس از احداث تحت بار وزن